



Московский государственный университет имени М. В. Ломоносова
Факультет вычислительной математики и кибернетики
Кафедра системного анализа

Отчет по практикуму

«Применение быстрого преобразования Фурье в Matlab»

Студент 315 группы
М. В. Миловидов

Руководитель практикума
к.ф.-м.н., доцент П. А. Точилин

Москва, 2024

1 Постановка задачи

Получить аппроксимацию преобразования Фурье $F(\lambda)$ для каждой функции $f(t)$ из следующего набора:

$$\arctg(t/2) - \arctg(t), \quad (1)$$

$$\begin{cases} \sin(2t), 3|t| \leq 1, \\ 0, \text{ иначе.} \end{cases}, \quad (2)$$

$$\frac{e^{-2|t|}}{1 + 2 \arctg^2(t)}, \quad (3)$$

$$\frac{\sin(t^3)}{t^2}, \quad (4)$$

при помощи быстрого преобразования Фурье (БПФ), выбирая различные шаги дискретизации исходной функции и различные окна, ограничивающие область определения $f(t)$. Построить графики $F(\lambda)$. Для первых двух функций $f(t)$ вычислить $F(\lambda)$ в явном виде и сравнить графики $F(\lambda)$, полученные из аналитического представления $F(\lambda)$ и из аппроксимации через БПФ.

Должна быть реализована функция `plotFT(hFigure, fHandle, fFTHandle, step, inpLimVec, outLimVec)`. Входные аргументы этой функции следующие:

`hFigure` — handle существующей фигуры с 2 осями для графиков, в которую осуществляется вывод графиков. При отсутствии осей (пустая фигура) должны быть созданы отдельные оси для вывода соответственно действительной и мнимой части преобразования Фурье $F(\lambda)$. При наличии осей выводить новые графики в них, предварительно очистив их от старых графиков (о том, как это сделать, см. комментарии ниже о хранении метаданных в свойстве `UserData`). При этом при отсутствии необязательного параметра `outLimVec` (см. ниже) пределы осей абсцисс не должны меняться (и быть одинаковыми для вещественной и мнимой части $F(\lambda)$).

`fHandle` — function handle для функции $f(t)$ (для $f(t)$ из набора, указанного на стр. 8 данного файла, соответствующие функции должны быть также реализованы под именами `func1(t)`, `func2(t)`, `func3(t)` и `func4(t)`, так что в `fHandle` можно передавать `@func1`, `@func2`, `@func3` и `@func4`, соответственно).

`fFTHandle` — либо function handle, либо пустой массив `[]`. В случае function handle содержит handle функции, задающей аналитически вычисленное преобразование Фурье $F(\lambda)$ для первых двух функций $f(t)$ из набора, указанного на стр. 8 данного файла (точное преобразование Фурье в этом случае должно выводиться вместе с приближенным). Соответствующие преобразования должны быть реализованы под именами `ftfunc1(l)`, `ftfunc2(l)`, так что в `fFTHandle` можно передавать `@ftfunc1`, `@ftfunc2`, соответственно. Если `fFTHandle` содержит пустой массив `[]`, на осях выводятся только численные аппроксимации преобразования Фурье. `step` — положительное число, задающее шаг дискретизации преобразования Фурье.

зации Δt .

`inpLimVec` — вектор-строка из двух элементов, задающий окно $[a, b]$ для $f(t)$ (первый элемент вектора содержит a , второй — b , $a < b$, причем не обязательно $a = b$).

`outLimVec` — вектор-строка из двух элементов, задающий окно для вывода преобразования Фурье $[c, d]$ (первый элемент вектора содержит c , второй — d , $c < d$). То есть при выводе пределы оси для должны задаваться пользователем через этот параметр (таким образом, может выводиться только часть графика преобразования Фурье). Этот параметр может быть опциональным (то есть не передаваться в функцию). В таком случае окно для вывода берется из пределов осей абсцисс (при наличии на фигуре уже существующих правильных осей). Если же старых осей нет, то это окно может как-то разумно выбираться. Замечание. При выводе преобразования Фурье в окне $[c, d]$ должны быть подсчитаны только те значения спектра, которые попадают в это окно. То есть не допускается расчёт спектра на очень большом интервале ("с запасом"), а далее вывод небольшой его части.

2 Вычисление `fft`

В начале алгоритма считается число точек разбиения N и пересчитывается шаг `step`, чтобы интервал ровно делился на N . Далее считается сетка разбиения сигнала, шаг спектра `lstep` = $2 * \pi / T$, где T - период разбиения. Далее по окну спектра считаются граничные точки `nA` и `nB`, попадающие в это окно, и разбиение спектра `l` = $0:lstep:(N-1)*lstep$. Считается быстрое преобразование Фурье при помощи функции `fft`, оно домножается на шаг `step` для получения нужного масштаба спектра, а также на вектор экспонент $\exp(-li * a * 1)$ для сдвига a в 0. Получившийся вектор дублируется для заполнения всего нужного промежутка.

3 Вычисление преобразования Фурье для функций 1 и 2

$$f_1(t) = \arctg(t/2) - \arctg(t).$$

$$\begin{aligned} F(\lambda) &= \int_{-\infty}^{+\infty} (\arctg(t/2) - \arctg(t)) e^{-i\lambda t} dt = \{\lambda \neq 0\} = -\frac{1}{i\lambda} (\arctg(t/2) - \arctg(t)) e^{-i\lambda t} \Big|_{-\infty}^{+\infty} + \\ &+ \frac{1}{i\lambda} \int_{-\infty}^{+\infty} \left(\frac{1}{1 + \frac{t^2}{4}} \cdot \frac{1}{2} - \frac{1}{1 + t^2} \right) e^{-i\lambda t} dt = \frac{1}{i\lambda} \int_{-\infty}^{+\infty} \left(\frac{2}{t^2 + 4} - \frac{1}{t^2 + 1} \right) e^{-i\lambda t} dt = \end{aligned}$$

Посчитаем интеграл по лемме Жордана. У каждой дроби две особые точки $\pm 2i$ и $\pm i$, из них в верхней полуплоскости находится $+i$ и $+2i$. Они являются полюсами первого порядка, в итоге имеем

$$\begin{aligned} &= \frac{2\pi i}{i\lambda} \left(\lim_{t \rightarrow 2i} \frac{2}{t^2 + 4} e^{i\lambda t} (t - 2i) - \lim_{t \rightarrow i} \frac{1}{t^2 + 1} e^{i\lambda t} (t - i) \right) = \frac{2\pi}{\lambda} \left(\lim_{t \rightarrow 2i} \frac{2}{t + 2i} e^{i\lambda t} - \lim_{t \rightarrow i} \frac{1}{t + i} e^{i\lambda t} \right) = \\ &= \frac{2\pi}{\lambda} \left(\frac{1}{2i} e^{-2\lambda} - \frac{1}{2i} e^{-\lambda} \right) = \frac{i\pi}{\lambda} (e^{-\lambda} - e^{-2\lambda}). \end{aligned}$$

Случай $\lambda = 0$:

$$\int_{-\infty}^{+\infty} (\arctg(t/2) - \arctg(t)) dt = 0.$$

$$f_2(t) = \begin{cases} \sin(2t), & 3|t| \leq 1, \\ 0, & \text{иначе.} \end{cases} \quad (5)$$

1) $\lambda \neq \pm 2$:

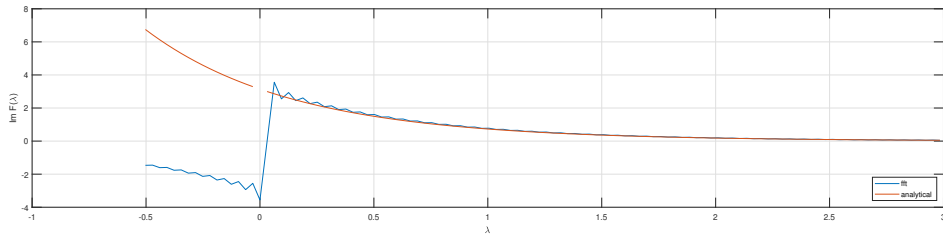
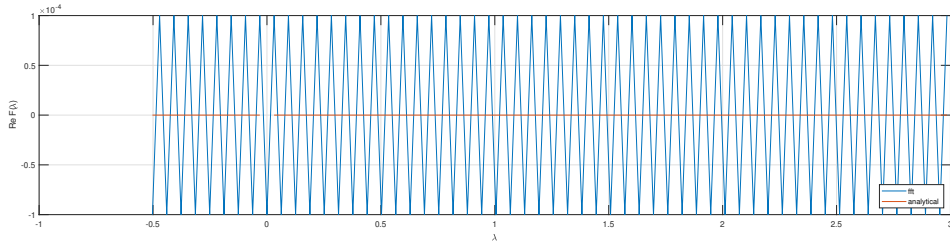
$$\begin{aligned} F(\lambda) &= \int_{-\frac{1}{3}}^{+\frac{1}{3}} \sin(2t) e^{-i\lambda t} dt = i \int_{-\frac{1}{3}}^{+\frac{1}{3}} \sin(2t) \sin(\lambda t) dt = \frac{i}{2} \int_{-\frac{1}{3}}^{+\frac{1}{3}} (\cos(2-\lambda) - \cos(2+\lambda)) \sin(\lambda t) dt = \\ &= \frac{i}{2} \left(\frac{1}{2-\lambda} \sin(2-\lambda)t \Big|_{-\frac{1}{3}}^{+\frac{1}{3}} - \frac{1}{2+\lambda} \sin(2+\lambda)t \Big|_{-\frac{1}{3}}^{+\frac{1}{3}} \right) = i \left(\frac{\sin \frac{2-\lambda}{3}}{2-\lambda} - \frac{\sin \frac{2+\lambda}{3}}{2+\lambda} \right) = \frac{i}{3} \left(\operatorname{sinc} \frac{2-\lambda}{3\pi} - \operatorname{sinc} \frac{2+\lambda}{3\pi} \right). \end{aligned}$$

2) $\lambda = \pm 2$:

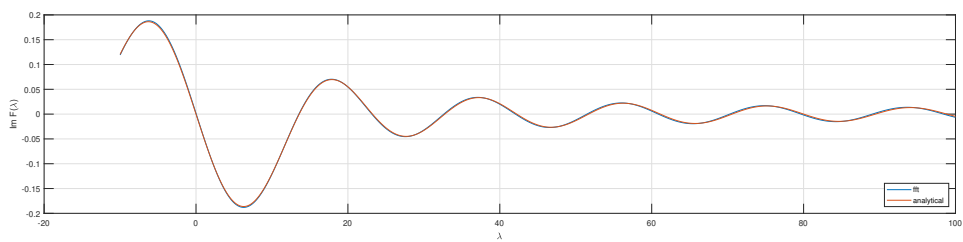
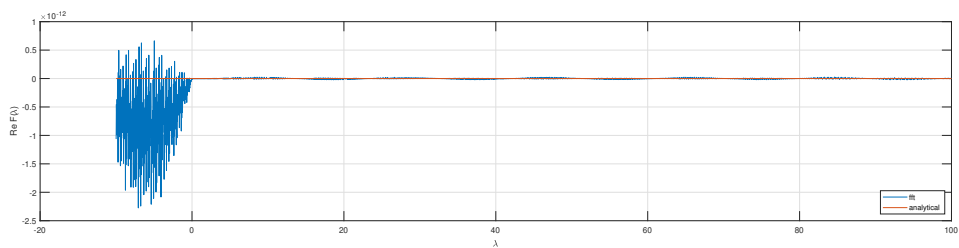
$$\begin{aligned} F(\lambda) &= \pm i \int_{-\frac{1}{3}}^{+\frac{1}{3}} \sin^2(2t) dt = \pm \frac{i}{2} \int_{-\frac{1}{3}}^{+\frac{1}{3}} (1 - \cos 4t) dt = \pm \frac{i}{2} \left(\frac{2}{3} - \frac{\sin 4t}{4} \Big|_{-\frac{1}{3}}^{+\frac{1}{3}} \right) = \pm \frac{i}{2} \left(\frac{2}{3} - \frac{2 \sin \frac{4}{3}}{4} \right) = \\ &= \pm \frac{i}{3} \left(1 - \operatorname{sinc} \frac{4}{3\pi} \right) = \frac{i}{3} \left(\operatorname{sinc} \frac{2-\lambda}{3\pi} - \operatorname{sinc} \frac{2+\lambda}{3\pi} \right). \\ F(\lambda) &= \frac{i}{3} \left(\operatorname{sinc} \frac{2-\lambda}{3\pi} - \operatorname{sinc} \frac{2+\lambda}{3\pi} \right) \quad \forall \lambda. \end{aligned}$$

4 Полученные графики

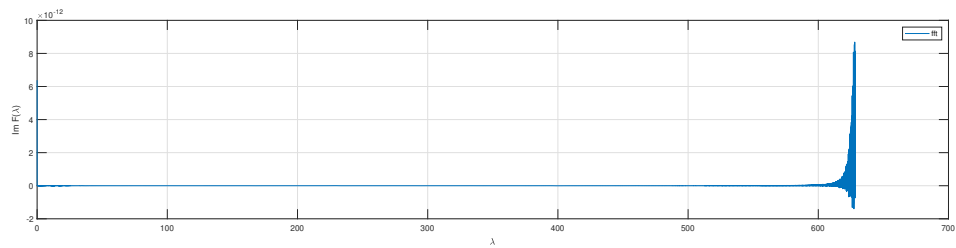
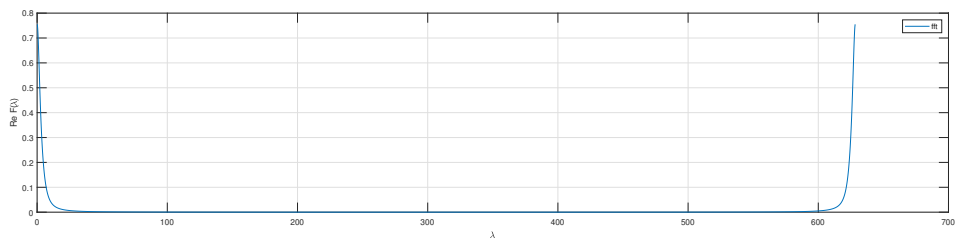
$$f(t) = \arctg(t/2) - \arctg(t), \quad F(\lambda) = \begin{cases} \frac{i\pi}{\lambda} (e^{-\lambda} - e^{-2\lambda}), & \lambda \neq 0 \\ 0, & \lambda = 0 \end{cases}.$$



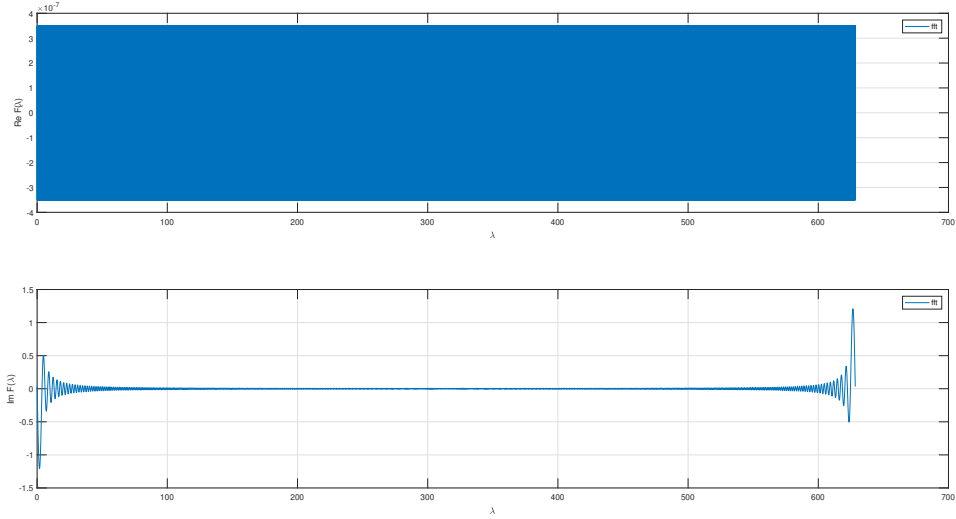
$$f(t) = \begin{cases} \sin(2t), & 3|t| \leq 1 \\ 0, & \text{иначе} \end{cases}, \quad F(\lambda) = \frac{i}{3} \left(\operatorname{sinc} \frac{2-\lambda}{3\pi} - \operatorname{sinc} \frac{2+\lambda}{3\pi} \right).$$



$$f(t) = \frac{e^{-2|t|}}{1 + 2 \operatorname{arctg}^2(t)}.$$

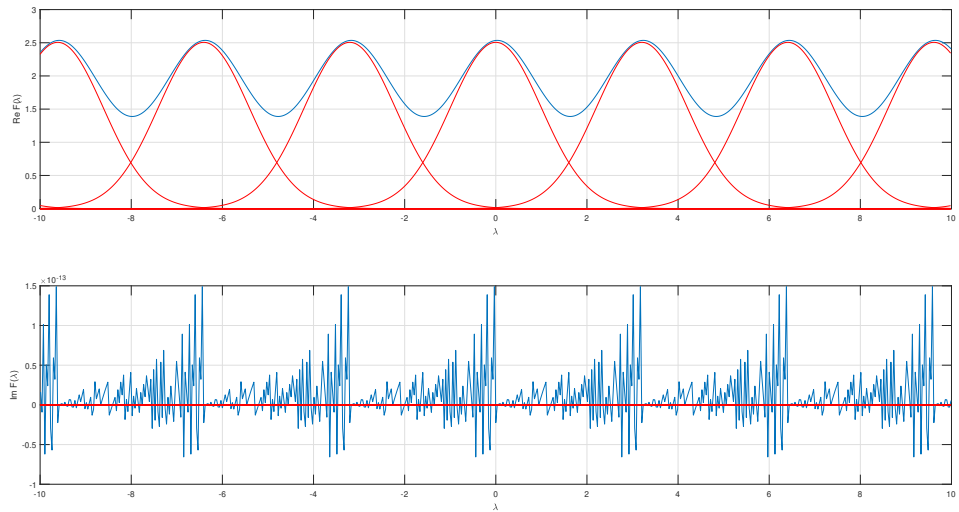


$$f(t) = \frac{\sin(t^3)}{t^2}.$$

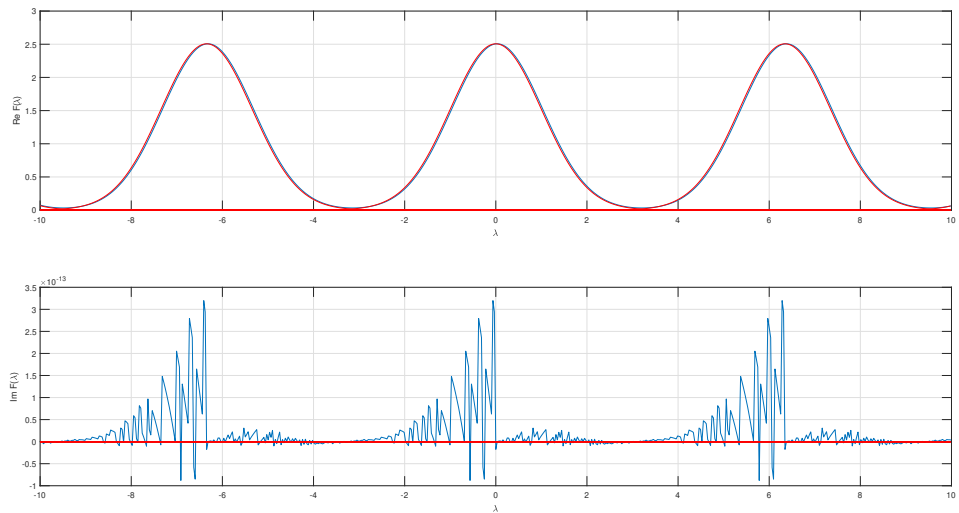


5 Эффект наложения спектра и рябь

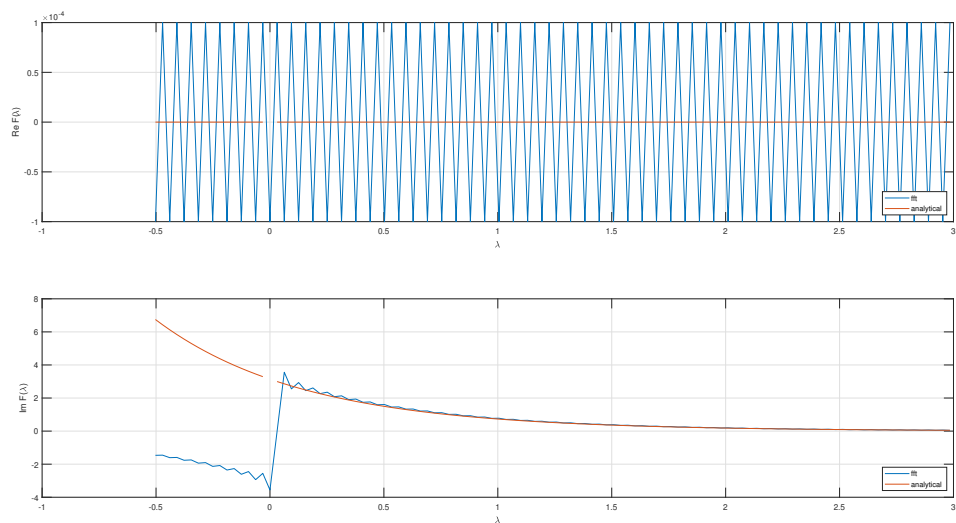
После дискретизации сигнал переходит в размноженный спектр. Эффект наложения спектра проявляется, когда интервал спектра больше, чем расстояние между получившимися размноженными спектрами (если считать, что спектр ограничен). Рассмотрим для примера гауссиану $f(t) = e^{-\frac{t^2}{2}}$, преобразованием которой является похожая функция $F(\lambda) = \sqrt{2\pi} \cdot e^{-\frac{\lambda^2}{2}}$. Ошибка наложения спектра будет возникать, когда $\frac{2\pi}{\Delta t} < \Lambda$, где Λ - интервал спектра. Можно считать, что спектр гауссианы ограничен и его интервал равен 2π (для удобства). Тогда если взять шаг дискретизации $\Delta t = 2$, мы увидим эффект наложения спектра, в сравнении с несуммированным размноженным спектром:



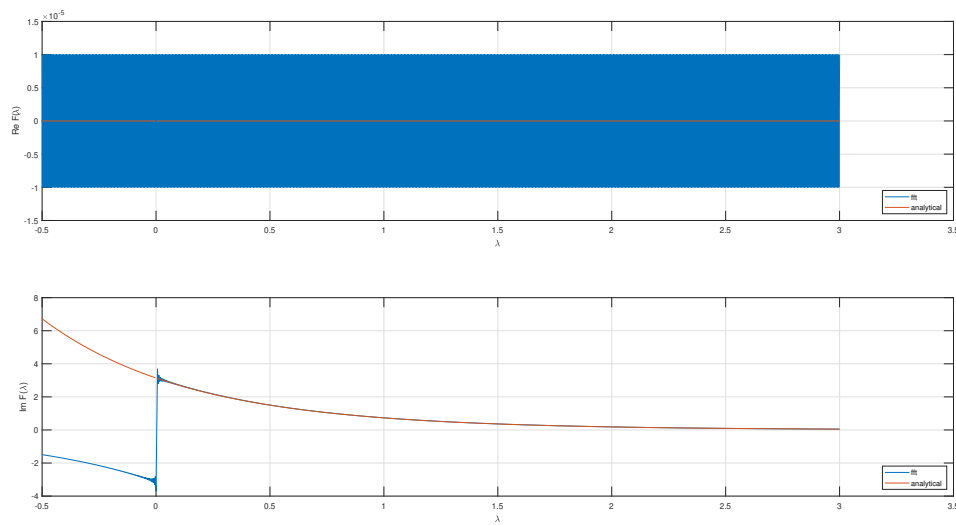
Выбрав шаг $\Delta t = 1$, мы как раз попадаем ровно в интервал спектра, и эффект наложения спектра пропадает (на самом деле почти, потому что спектр гауссианы все же неограничен, но очень близок к нулю вне данного интервала). Такая частота называется частотой дискретизации Найквиста. (то есть $\Delta t = \frac{2\pi}{\Lambda}$)



Другим побочным эффектом ДПФ является рябь. Она связана с тем, что мы берем конечный промежуток для сигнала, в связи с тем теряем в точности. Особенно сильно этот эффект проявляется в точках разрыва спектра, как видно на примере функции номер 1:



Увеличив интервал сигнала с $[-100, 100]$ до $[-1000, 1000]$, мы видим уменьшение эффекта ряби, хотя в точке разрыва до конца убрать его невозможно:



Список литературы

- [1] Точилин П.А. Лекции по Преобразованиям Лапласа Фурье 2024